



УДК 536.24

В.И. Гаврыш, д-р техн. наук
Национальный университет «Львовская политехника»,
(Украина, 79013, Львов, ул. С.Бандеры, 12,
тел. (032) 2582578, e-mail: ikni.pz@gmail.com)

Численно-аналитическое решение нелинейной стационарной задачи теплопроводности для бесконечной термочувствительной многослойной пластины

Предложен метод решения нелинейных граничных задач теплопроводности на примере бесконечной термочувствительной многослойной пластины с теплоизолированными лицевыми поверхностями, конвективным теплообменом и локально сосредоточенными внутренними источниками тепла. Выполнен численный анализ температурного поля для двухслойной пластины. Приведены результаты эксперимента.

Запропоновано метод розв'язування нелінійних крайових задач теплопровідності на прикладі нескінченної термочутливої багатошарової пластины з теплоізолюваними лицевими поверхнями, конвективним теплообміном і локально зосередженими внутрішніми джерелами тепла. Виконано числовий аналіз температурного поля для двошарової пластины. Наведено результати експерименту.

К л ю ч е в ы е с л о в а : температура, теплопроводность, конвективный теплообмен, идеальный тепловой контакт, термочувствительные кусочно-однородные структуры.

Исследование процессов теплопроводности в элементах микроэлектронных устройств способствует более глубокому пониманию происходящих в них микропроцессов, связанных с движением и рассеиванием элементарных частиц. Ни одно из явлений переноса не дает таких всеобъемлющих сведений о колебаниях решетки, о возбужденном состоянии электронов, о взаимодействии электронов с решеткой в полупроводниках, как теплопроводность. В элементах микроэлектронных устройств, в которых протекает электрический ток, всегда происходит неоднородное выделение тепла, а в некоторых случаях создается большой градиент температуры. Поэтому эффективность работы микроэлектронных устройств существенно зависит от температурных режимов, устанавливающихся в процессе нагревания. Это особенно важно для устройств, в которых применяются тонкопленочные слои.

© В.И. Гаврыш, 2014

В процессе проектирования и эксплуатации отдельных элементов и узлов микроэлектронных устройств, работающих в широком диапазоне температур при воздействии высоких тепловых нагрузок, возникает ряд сложных инженерных проблем, для решения которых необходимо иметь достоверную информацию об их тепловом состоянии и температурных режимах. Такую информацию можно получить только расчетным путем, так как экспериментальные исследования невозможны вследствие высоких температур и герметизирующих свойств систем теплоотвода. Это, в свою очередь, требует решения сложных нелинейных краевых задач теплопроводности, полученных на основе математических моделей, максимально отражающих существенные аспекты теплофизических процессов, осуществляемых в рассматриваемых термочувствительных конструкциях.

Определению теплового состояния однородных и неоднородных конструкций с учетом термочувствительности (зависимости теплофизических параметров от температуры) посвящены многие исследования.

В работах [1—6] рассмотрена тепловая модель осесимметричной биполярной транзисторной структуры с неоднородностью теплофизического типа в области контакта кристалл—теплоотвод и температурно зависимой плотностью тока. Найдены неоднородные распределения плотности теплового потока и температуры в активной области в зависимости от модельных параметров, характеризующих размер дефекта Ks и его теплофизические свойства Kd . Показано, что показатель неоднородности температуры нелинейно зависит от параметра Ks . Для различных значений величин модельных параметров полупроводниковой структуры проведена оценка отношения максимальных температур активной области кристалла с дефектом и без него. Найдено распределение температуры на поверхности транзисторной структуры в условиях изменения напряжения коллектор — база и тока коллектора [7].

В работе [8] сформулирована задача стационарной теплопроводности для слоистых пластин постоянной и переменной толщины в пространственной постановке. Методом начальных функций трехмерная задача сведена к двумерной. Для пластины со слоями переменной толщины получена система уравнений с переменными коэффициентами. Проанализированы полученные двумерные краевые задачи. Для пластин с однородными слоями постоянной толщины построено решение в аналитической форме и показано, что это решение совпадает с решением, полученным методом разделения переменных.

В работе [9] исследованы теплоперенос и напряженное состояние в слоистой пластине с составляющими различной прозрачности, соединенными тонким промежуточным слоем, в условиях теплового облучения со

стороны частично прозрачного слоя. С помощью эффективного коэффициента отражения на поверхности контакта получены приближенные соотношения для определения поля излучения в основном частично прозрачном слое. Найдены приближенные соотношения для напряжений в пластине, учитывающие характеристики жесткости на изгиб и растяжение промежуточного слоя. Нелинейная краевая задача теплопереноса решена методом конечных разностей с применением процедуры квазилинеаризации. Предложен метод решения одномерного нестационарного уравнения теплопроводности. Использование метода функций Грина позволило преобразовать полученное уравнение к нелинейному интегральному уравнению Вольтерры второго рода относительно температуры, которое решается методом квадратичных форм. Полученная система рекуррентных уравнений решена численно. Проанализировано влияние нелинейности на профили температуры [10].

С использованием операционного метода и метода последовательных интервалов решены нелинейные задачи нестационарной теплопроводности с переменным коэффициентом теплообмена, с нелинейностью первого и второго рода, а также задачи теплопроводности с общей нелинейностью [11].

Работы [12—17] посвящены развитию методов решения стационарных нелинейных задач теплопроводности для конструкций кусочно-однородной структуры (слоистые, однородные и слоистые с инородными включениями).

Рассмотрим метод решения стационарных нелинейных задач теплопроводности для термочувствительных кусочно-однородных (слоистых) структур на примере бесконечной пластины с теплоизолированными лицевыми поверхностями, на границах которой осуществляется конвективный теплообмен с внешней средой и в одном из слоев локально сосредоточены внутренние источники тепла.

Постановка задачи. Рассмотрим изотропную (относительно теплофизических параметров) термочувствительную многослойную бесконечную пластину толщиной 2δ с теплоизолированными лицевыми поверхностями $|z|=\delta$, состоящую из n разнородных слоев с различными геометрическими и теплофизическими параметрами, отнесенную к декартовой прямоугольной системе координат $Oxyz$ с началом на одной из ее граничных поверхностей (рис.1).

В области параллелепипеда, имеющего j -й слой ($j = \overline{2, n-1}$) пластины объемом $4h\delta(y_j - y_{j-1})$, действуют равномерно распределенные внутренние источники тепла мощностью $q_0 = \text{const}$. На граничных поверхностях $K_k = \{(x, y_k, z) : |x| < \infty, |z| \leq \delta\}$, $k = \overline{1, n-1}$, слоев осуществляется идеальный тепловой контакт, а на граничных поверхностях $K_0 = \{(x, 0, z) : |x| < \infty, |z| \leq \delta\}$,

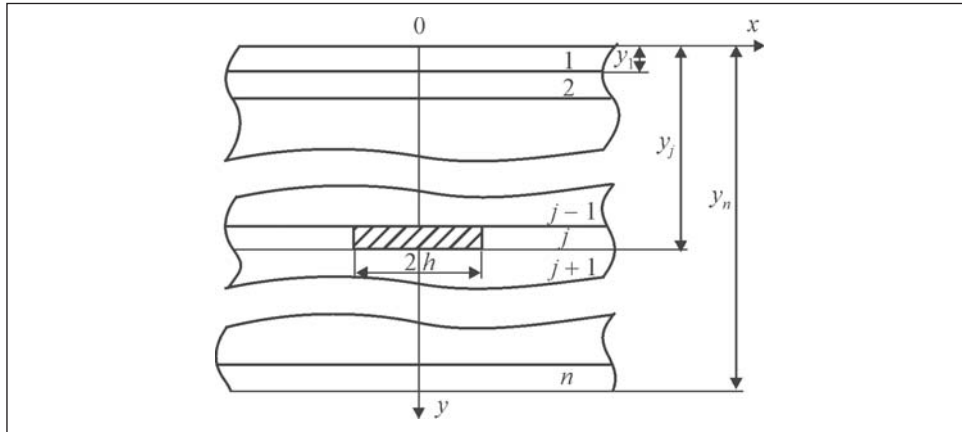


Рис. 1. Сечение изотропной термочувствительной многослойной бесконечной пластины плоскостью $z = 0$

$K_n = \{(x, y_n, z) : |x| < \infty, |z| \leq \delta\}$ пластины происходит конвективный теплообмен с внешней средой постоянной температуры $t_c = \text{const}$.

Математическая модель задачи. Распределение стационарного температурного поля $t(x, y)$ в многослойной термочувствительной бесконечной пластине находим в результате решения нелинейного уравнения теплопроводности [18, 19]

$$\text{div} [\lambda(y, t) \text{grad } t] = -q_0 N(x, h) N_1(y, y_{j-1}) \quad (1)$$

с граничными условиями

$$\lambda_1(t) \frac{\partial t}{\partial y} \Big|_{y=0} = \alpha_0 (t|_{y=0} - t_c), \quad \lambda_n(t) \frac{\partial t}{\partial y} \Big|_{y=y_n} = \alpha_n (t_c - t|_{y=y_n}), \quad (2)$$

$$t|_{|x| \rightarrow \infty} = 0, \quad \frac{\partial t}{\partial x} \Big|_{|x| \rightarrow \infty} = 0,$$

где $\lambda(y, t)$ — коэффициент теплопроводности неоднородной пластины,

$$\lambda(y, t) = \lambda_1(t) + \sum_{k=1}^{n-1} [\lambda_{k+1}(t) - \lambda_k(t)] S_-(y - y_k);$$

$\lambda_k(t)$ — коэффициент теплопроводности k -го слоя пластины; α_0 и α_n — коэффициенты теплоотдачи с граничных поверхностей K_0 и K_n пластины;

$N_1(y, y_{j-1}) = S_-(y - y_{j-1}) - S_-(y - y_j)$; $N(x, h) = S_-(x + h) - S_+(x - h)$; $S_{\pm}(\zeta)$ — асимметрические единичные функции [20],

$$S_{\pm}(\zeta) = \begin{cases} 1, & \zeta > 0, \\ 0,5 \mp 0,5, & \zeta = 0, \\ 0, & \zeta < 0. \end{cases}$$

Введем функцию

$$\mathfrak{G} = \int_0^{t(x,y)} \lambda_1(\zeta) d\zeta + \sum_{k=1}^{n-1} S_-(y - y_k) \int_{t(x,y_k)}^{t(x,y)} [\lambda_{k+1}(\zeta) - \lambda_k(\zeta)] d\zeta, \quad (3)$$

продифференцировав которую по переменным x и y , получим

$$\begin{aligned} \frac{\partial \mathfrak{G}}{\partial x} &= \lambda(y, t) \frac{\partial t}{\partial x} - \sum_{k=1}^{n-1} \left\{ [\lambda_{k+1}(t) - \lambda_k(t)] \frac{\partial t}{\partial x} \right\} \Big|_{y=y_k} S_-(y - y_k), \\ \frac{\partial \mathfrak{G}}{\partial y} &= \lambda(y, t) \frac{\partial t}{\partial y}. \end{aligned} \quad (4)$$

С учетом (4) исходное уравнение (1) примет следующий вид:

$$\begin{aligned} \Delta \mathfrak{G} &= - \frac{\partial}{\partial x} \left\{ \sum_{k=1}^{n-1} \left[(\lambda_{k+1}(t) - \lambda_k(t)) \frac{\partial t}{\partial x} \right] \Big|_{y=y_k} S_-(y - y_k) \right\} - \\ &= - q_0 N(x, h) N_1(y, y_{j-1}). \end{aligned} \quad (5)$$

Используя соотношение (3), граничные условия (2) запишем в виде

$$\begin{aligned} \frac{\partial \mathfrak{G}}{\partial y} \Big|_{y=0} &= \alpha_0 (t|_{y=0} - t_c), \quad \frac{\partial \mathfrak{G}}{\partial y} \Big|_{y=y_n} = \alpha_n (t_c - t|_{y=y_n}), \\ \mathfrak{G} \Big|_{|x| \rightarrow \infty} &= 0, \quad \frac{\partial \mathfrak{G}}{\partial x} \Big|_{|x| \rightarrow \infty} = 0. \end{aligned} \quad (6)$$

Таким образом, нелинейная математическая модель (1), (2) с помощью функции (3) приведена к частично линеаризованной граничной задаче (5), (6).

Аппроксимируем функции $t(x, 0)$, $t(x, y_k)$ выражениями

$$t(x, y_k) = t_1^{(k)} + \sum_{l=1}^{m-1} (t_{l+1}^{(k)} - t_l^{(k)}) S_-(x - x_l), \quad (7)$$

где $k = \overline{0, n}$; $y_0 = 0$; $x_l \in]-x_* ; x_* [$; $x_1 \leq x_2 \leq \dots \leq x_{m-1}$; m — число разбиений интервала $]-x_* ; x_* [$; x_* — значение абсциссы, для которой температура

практически равна t_c ($k=0, n$) и нулю ($0 < k < n$) (определяется решением соответствующей линейной задачи); $t_l^{(k)}$, $l=1, m$, $k=1, n$, — неизвестные аппроксимирующие значения. Подставив (7) в (5) и (6), получим линейную граничную задачу относительно функции ϑ :

$$\Delta \vartheta = - \sum_{k=1}^{n-1} \sum_{l=1}^{m-1} (t_{l+1}^{(k)} - t_l^{(k)}) [\lambda_{k+1}(t_{l+1}^{(k)}) - \lambda_k(t_{l+1}^{(k)})] \delta'_-(x-x_l) S_-(y-y_k) - q_0 N(x, h) N(y, y_{j-1}), \quad (8)$$

$$\left. \frac{\partial \vartheta}{\partial y} \right|_{y=0} = \alpha_0 \left[t_1^{(0)} + \sum_{l=1}^{m-1} (t_{l+1}^{(0)} - t_l^{(0)}) S_-(x-x_l) - t_c \right],$$

$$\left. \frac{\partial \vartheta}{\partial y} \right|_{y=y_n} = -\alpha_n \left[t_1^{(n)} + \sum_{l=1}^{m-1} (t_{l+1}^{(n)} - t_l^{(n)}) S_-(x-x_l) - t_c \right], \quad (9)$$

$$\vartheta \Big|_{|x| \rightarrow \infty} = 0, \quad \frac{\partial \vartheta}{\partial x} \Big|_{|x| \rightarrow \infty} = 0.$$

Здесь $\Delta = \frac{\partial^2}{\partial x^2} + \frac{\partial^2}{\partial y^2}$ — оператор Лапласа в декартовой прямоугольной системе координат; $\delta_-(\zeta) = \frac{dS_-(\zeta)}{d\zeta}$ — асимметрическая дельта-функция Дирака [20].

Решение граничной задачи. Применив интегральное преобразование Фурье по координате x к задаче (8), (9), получим обыкновенное дифференциальное уравнение с постоянными коэффициентами

$$\frac{d^2 \bar{\vartheta}}{dy^2} - \xi^2 \bar{\vartheta} = i \sqrt{\frac{1}{2\pi}} \left\{ \xi \sum_{k=1}^{n-1} \sum_{l=1}^{m-1} e^{i\xi x_l} (t_{l+1}^{(k)} - t_l^{(k)}) [\lambda_{k+1}(t_{l+1}^{(k)}) - \lambda_k(t_{l+1}^{(k)})] \times \right.$$

$$\left. \times S_-(y-y_k) + 2q_0 \frac{shi \xi h}{\xi} N_1(y, y_{j-1}) \right\} \quad (10)$$

и граничные условия

$$\left. \frac{d \bar{\vartheta}}{dy} \right|_{y=0} = \sqrt{\frac{1}{2\pi}} \frac{i \alpha_0}{\xi} \sum_{l=1}^{m-1} (t_{l+1}^{(0)} - t_l^{(0)}) e^{i\xi x_l},$$

$$\left. \frac{d \bar{\vartheta}}{dy} \right|_{y=y_n} = -\sqrt{\frac{1}{2\pi}} \frac{i \alpha_n}{\xi} \sum_{l=1}^{m-1} (t_{l+1}^{(n)} - t_l^{(n)}) e^{i\xi x_l}, \quad (11)$$

где $\bar{\mathfrak{G}} = \frac{1}{\sqrt{2\pi}} \int_{-\infty}^{\infty} e^{i\xi x} \mathfrak{G} dx$ — трансформанта функции \mathfrak{G} ; ξ — параметр интегрального преобразования Фурье; $i = \sqrt{-1}$ — мнимая единица.

Общее решение уравнения (10) находим методом вариации постоянных в следующем виде:

$$\begin{aligned} \bar{\mathfrak{G}} = & C_1 e^{\xi y} + C_2 e^{-\xi y} - \sqrt{\frac{1}{2\pi}} \frac{i}{\xi} \left\{ \sum_{k=1}^{n-1} \sum_{l=1}^{m-1} e^{i\xi x_l} (t_{l+1}^{(k)} - t_l^{(k)}) [\lambda_{k+1}(t_{l+1}^{(k)}) - \lambda_k(t_{l+1}^{(k)})] \times \right. \\ & \times (1 - ch\xi(y - y_k)) S_-(y - y_k) + \frac{2q_0 sh i \xi h}{\xi^2} \times \\ & \left. \times [N_1(y, y_{j-1}) - ch\xi(y - y_{j-1}) S_-(y - y_{j-1}) + ch\xi(y - y_j) S_-(y - y_j)] \right\}, \end{aligned}$$

где C_1, C_2 — постоянные интегрирования. Используя граничные условия (11), получим частное решение задачи (10), (11):

$$\begin{aligned} \bar{\mathfrak{G}} = & -\sqrt{\frac{1}{2\pi}} \frac{i}{\xi} \left\{ \sum_{k=1}^{n-1} \sum_{l=1}^{m-1} e^{i\xi x_l} (t_{l+1}^{(k)} - t_l^{(k)}) [\lambda_{k+1}(t_{l+1}^{(k)}) - \lambda_k(t_{l+1}^{(k)})] \times \right. \\ & \times \left[(1 - ch\xi(y - y_k)) S_-(y - y_k) + ch\xi y \frac{sh\xi(y_n - y_k)}{sh\xi y_n} \right] + \\ & + \frac{2q_0 e^{i\xi h}}{\xi^2} [N_1(y, y_{j-1}) - ch\xi(y - y_{j-1}) S_-(y - y_{j-1}) + \\ & + ch\xi(y - y_j) S_-(y - y_j) + ch\xi y \frac{sh\xi(y_n - y_{j-1}) - sh\xi(y_n - y_j)}{sh\xi y_n}] + \\ & \left. + \frac{1}{\xi sh\xi y_n} \left[\alpha_n \sum_{l=1}^{m-1} e^{i\xi x_l} (t_{l+1}^{(n)} - t_l^{(n)}) ch\xi y + \alpha_0 \sum_{l=1}^{m-1} e^{i\xi x_l} (t_{l+1}^{(0)} - t_l^{(0)}) ch\xi(y - y_n) \right] \right\}. \end{aligned} \tag{12}$$

Применив обратное интегральное преобразование Фурье к соотношению (12), найдем выражение для функции \mathfrak{G} :

$$\mathfrak{G} = -\frac{1}{\pi} \left\{ \sum_{k=1}^{n-1} \sum_{l=1}^{m-1} (t_{l+1}^{(k)} - t_l^{(k)}) [\lambda_{k+1}(t_{l+1}^{(k)}) - \lambda_k(t_{l+1}^{(k)})] \int_0^{\infty} \frac{\sin \xi(x - x_l)}{\xi} \times \right.$$

$$\begin{aligned}
& \times \left[(1 - ch\xi(y - y_k)) S_-(y - y_k) + \frac{sh\xi(y_n - y_k)}{sh\xi y_n} ch\xi y \right] d\xi + \\
& + q_0 \int_0^\infty \frac{[\sin\xi(x - h) - \sin\xi(x + h)]}{\xi^3} \left(N_1(y, y_{j-1}) - ch\xi(y - y_{j-1}) S_-(y - y_{j-1}) + \right. \\
& \left. + ch\xi(y - y_j) S_-(y - y_j) + ch\xi y \frac{sh\xi(y_n - y_{j-1}) - sh\xi(y_n - y_j)}{sh\xi y_n} \right) d\xi + \\
& + \alpha_n \sum_{l=1}^{m-1} (t_{l+1}^{(n)} - t_l^{(n)}) \int_0^\infty \frac{\sin\xi(x - x_l)}{\xi^2 sh\xi y_n} ch\xi y d\xi + \\
& + \alpha_0 \sum_{l=1}^{m-1} (t_{l+1}^{(0)} - t_l^{(0)}) \int_0^\infty \frac{\sin\xi(x - x_l)}{\xi^2 sh\xi y_n} ch\xi(y - y_n) d\xi \}. \quad (13)
\end{aligned}$$

Подставив выражения зависимости коэффициента теплопроводности от температуры для каждого из слоев пластины в соотношения (3), (13), после некоторых преобразований получим систему нелинейных уравнений для определения неизвестных аппроксимирующих значений температуры $t_l^{(k)}$, $k = \overline{0, n-1}$, $l = \overline{1, m}$. Искомое температурное поле для рассматриваемой системы определяем с помощью полученного нелинейного уравнения после подстановки в (3), (13) конкретных выражений зависимостей коэффициента теплопроводности от температуры для материалов каждого слоя пластины.

Расчетные формулы для трехслойной пластины. Рассмотрим пластину, состоящую из трех слоев, с внутренними источниками тепла в среднем слое ($n = 3$, $j = 2$). Пусть зависимость коэффициента теплопроводности от температуры для материалов каждого из слоев пластины, которая используется для решения многих практических задач, описывается соотношением $\lambda(t) = \lambda^0(1 - kt)$ [21, 22], где λ^0 и k — опорный и температурный коэффициенты теплопроводности. Из выражений (3), (13) получим формулы для определения температуры t :

в области $0 \leq y < y_1$ —

$$t = (1 - \sqrt{1 - 2k_1\vartheta / \lambda_1^0}) / k_1, \quad (14)$$

в области $y_1 \leq y < y_2$ —

$$t = (1 - \sqrt{1 - 2k_2(\vartheta / \lambda_2^0 + \vartheta_1^*)}) / k_2, \quad (15)$$

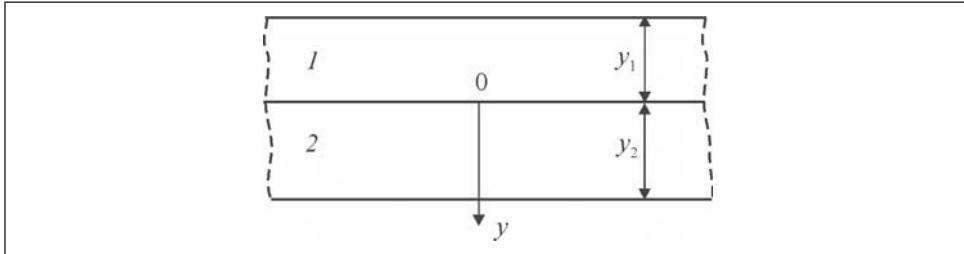


Рис. 2. Двухслойная термочувствительная бесконечная пластина

в области $y_2 \leq y \leq y_3$ —

$$t = (1 - \sqrt{1 - 2k_3(\vartheta / \lambda_3^0 + \vartheta_2^*)}) / k_3, \quad (16)$$

где

$$\begin{aligned} \vartheta_1^* &= \left\{ \left[1 - \lambda_1^0 / \lambda_2^0 + \frac{1}{2} (k_1 \lambda_1^0 / \lambda_2^0 - k_2) t \right] t \right\} \Big|_{y=y_1}; \quad t|_{y=y_1} = (1 - \sqrt{1 - 2k_1 \vartheta|_{y=y_1} / \lambda_1^0}) / k_1; \\ \vartheta_2^* &= \left\{ \left[1 - \lambda_2^0 / \lambda_3^0 + \frac{1}{2} (k_2 \lambda_2^0 / \lambda_3^0 - k_3) t \right] t \right\} \Big|_{y=y_2} + \\ &+ \frac{1}{\lambda_3^0} \left\{ \left[\lambda_2^0 - \lambda_1^0 + \frac{1}{2} (k_1 \lambda_1^0 - k_2 \lambda_2^0) t \right] t \right\} \Big|_{y=y_1}; \\ t|_{y=y_2} &= (1 - \sqrt{1 - 2k_2(\vartheta|_{y=y_2} / \lambda_2^0 + \vartheta_1^*)}) / k_2. \end{aligned}$$

Формулы (14)—(16) полностью описывают распределение температуры в термочувствительной многослойной бесконечной пластине с теплоизолированными лицевыми поверхностями, конвективным теплообменом и локально сосредоточенными внутренними источниками тепла.

Пример. Рассмотрим пластину, состоящую из двух слоев с равномерно распределенными источниками тепла на поверхностях сопряжения слоев (рис. 2). Предположим, что на граничных поверхностях пластины $y = -y_1$, $y = y_2$ температура соответственно составляет $t_1 = 0$, $t_2 = 700$ °С. Для рассматриваемой системы соотношения (1)—(5) и (13) соответственно примут вид

$$\begin{aligned} \frac{d}{dy} \left[\lambda(y, t) \frac{dt}{dy} \right] &= -q_0 \delta(y), \quad t|_{y=-y_1} = t_1, \quad t|_{y=y_2} = t_2, \\ \vartheta &= \int_{t_1}^t \lambda_1(\zeta) d\zeta + S_-(y) \int_{t_1}^t [\lambda_2(\zeta) - \lambda_1(\zeta)] d\zeta, \end{aligned}$$

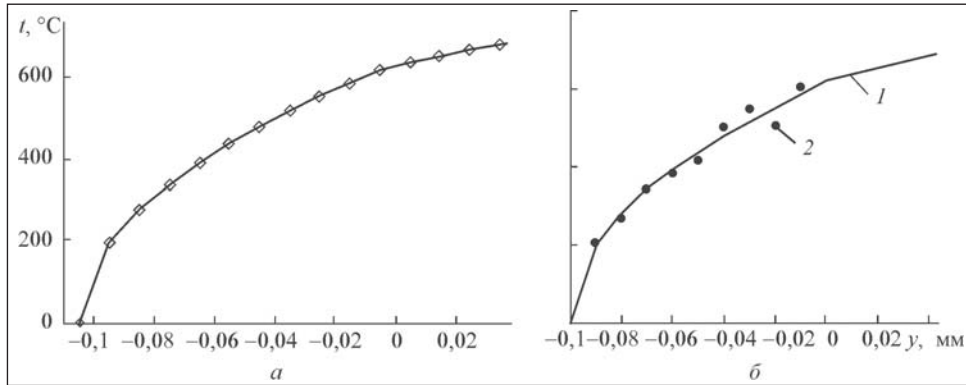


Рис. 3. Зависимость температуры термочувствительной пластины от пространственной координаты y : a — численные расчеты на модели в диапазоне температур от нуля до 700 °С; b — 1 — расчетная кривая; 2 — экспериментальные значения

$$\frac{d^2\vartheta}{dy^2} = -q_0\delta(y), \quad \vartheta|_{y=-y_1} = 0, \quad \vartheta|_{y=y_2} = \int_{t_1}^{t_2} \lambda_1(t) dt + \int_{t_1}^{t_2} [\lambda_2(t) - \lambda_1(t)] dt,$$

$$\vartheta = \frac{y+y_1}{y_1+y_2} \left\{ y_2 q_0 + \int_{t_1}^t \lambda_1(\zeta) d\zeta + S_-(y) \int_{t_1}^t [\lambda_2(\zeta) - \lambda_1(\zeta)] d\zeta \right\} - y q_0 S(y),$$

где $\lambda(y, t) = \lambda_1(t) + [\lambda_2(t) - \lambda_1(t)] S_-(y)$; $\delta(y)$ — дельта-функция Дирака; $S(y)$ — симметрическая единичная функция. В качестве материалов слоев пластины возьмем сталь У12 и 08. В диапазоне температур от нуля до 700 °С эти материалы описываются следующими зависимостями коэффициента теплопроводности от температуры:

$$\lambda_1(t) = 47,5 \frac{\text{Вт}}{\text{м} \cdot \text{град}} \left(1 + 0,37 \frac{1}{\text{град}} t \right), \quad \lambda_2(t) = 64,5 \frac{\text{Вт}}{\text{м} \cdot \text{град}} \left(1 + 0,49 \frac{1}{\text{град}} t \right).$$

Распределение температуры в рассматриваемой структуре определяется из квадратного уравнения для первого слоя,

$$\lambda_1^0 k_1 t^2 - 2\lambda_1^0 t + \lambda_1^0 t_1 (2 - k_1 t_1) + \frac{y+y_1}{y_1+y_2} \{ 2y_2 q_0 - \lambda_1^0 t_1 (2 - k_1 t_1) + \lambda_2^0 t_2 (2 - k_2 t_2) + t_0 [\lambda_1^0 (2 - k_1 t_0) - \lambda_2^0 (2 - k_2 t_0)] \} = 0,$$

и для второго слоя —

$$\lambda_2^0 k_2 t^2 - 2\lambda_2^0 t + \lambda_1^0 t_1 (2 - k_1 t_1) - \lambda_1^0 t_0 (2 - k_1 t_0) + \lambda_2^0 t_0 (2 - k_2 t_0) + \frac{y+y_1}{y_1+y_2} \{ 2y_2 q_0 - \lambda_1^0 t_1 (2 - k_1 t_1) + \lambda_2^0 t_2 (2 - k_2 t_2) + t_0 [\lambda_1^0 (2 - k_1 t_0) - \lambda_2^0 (2 - k_2 t_0)] \} - 2y q_0 = 0.$$

Здесь $t_0 = t(0)$ и определяется из квадратного уравнения

$$\begin{aligned} & [\lambda_1^0 k_1 + \frac{y_1}{y_1 + y_2} (\lambda_2^0 k_2 - \lambda_1^0 k_1)] t_0^2 - 2 [\lambda_1^0 + \frac{y_1}{y_1 + y_2} (\lambda_2^0 - \lambda_1^0)] t_0 + \lambda_1^0 t_1 (2 - k_1 t_1) + \\ & + \frac{y_1}{y_1 + y_2} [2y_2 q_0 - \lambda_1^0 t_1 (2 - k_1 t_1) + \lambda_2^0 t_2 (2 - k_2 t_2)] = 0. \end{aligned}$$

Результаты численных расчетов температурного поля, выполненных с помощью математической модели, адекватны реальному физическому процессу (рис. 3, а). Максимальная относительная ошибка между расчетными значениями температуры и результатами эксперимента составляет 15 % (рис. 3, б).

Выводы

Предложенная кусочно-линейная аппроксимация температуры на граничных поверхностях инородных слоев и пластины дала возможность полностью линеаризовать задачу, численно-аналитическое решение которой получено с использованием интегрального преобразования Фурье.

A method has been proposed for solving the nonlinear boundary value problems of heat conduction as an example of an infinite plate with temperature-sensitive multilayer insulated facial surfaces, convective heat transfer and locally focused internal heat sources. A numerical analysis of temperature field for the two-layer plate has been done with results of the experiment presented.

СПИСОК ЛИТЕРАТУРЫ

1. *Carpinteri A., Paggi M.* Thermoelastic Mismatch in Nonhomogeneous Beams // J. Eng. Math. — 2008. — 61, No. 2—4. — P. 371—384.
2. *Noda N.* Thermal Stresses in Materials with Temperature-dependent Properties // Appl. Mech. Rev. — 1991. — 44. — P. 383—397.
3. *Otao Y., Tanigawa O., Ishimaru O.* Optimization of Material Composition of Functionality Graded Plate for Thermal Stress Relaxation Using a Genetic Algorithm // J. Therm. Stresses. — 2000. — 23. — P. 257—271.
4. *Tanigawa Y., Akai T., Kawamura R.* Transient Heat Conduction and Thermal Stress Problems of a Nonhomogeneous Plate With Temperature-dependent Material Properties // Ibid. — 1996. — 19, No. 1. — P. 77—102.
5. *Tanigawa Y., Otao Y.* Transient Thermoelastic Analysis of Functionally Graded Plate with Temperature-dependent Material Properties Taking into Account the Thermal Radiation // Nihon Kikai Gakkai Nenji Taikai Koen Ronbunshu. — 2002. — 2. — P. 133—134.
6. *Yangian Xu, Daihui Tu.* Analysis of Steady Thermal Stress in a ZrO₂/FGM/Ti-6Al-4V Composite ECBF Plate with Temperature-dependent Material Properties by NFEM // 2009-WASE Int. Conf. on Informa. Eng. — Vol. 2 — 2. — P. 433—436.
7. *Сергеев В.А., Ходаков А.М.* Тепловая модель биполярной транзисторной структуры с неоднородностью в области контакта кристалла с теплоотводом // Электронная техника. Сер. 2. Полупроводниковые приборы. — 2010. — № 1. — С. 12—18.

8. Немировский Ю.В., Янковский А.П. Решение стационарной задачи теплопроводности слоистых анизотропных неоднородных пластин методом начальных функций // Мат. методы та физ.-мех. поля. — 2008. — **51**, №2. — С. 222—238.
9. Турій О. Нелінійна контактнo-крайова задача термомеханіки для опромінюваної двохшарової пластини, з'єднаної проміжковим шаром // Фізико-математичне моделювання та інформаційні технології. — 2008. — Вип. 8. — С. 118—132.
10. Белик В.Д., Урюков Б.А., Фролов Г.А., Ткаченко Г.В. Численно-аналитический метод решения нелинейного нестационарного уравнения теплопроводности // Инженерно-физический журнал. — 2008. — **81**, № 6. — С. 1058—1062.
11. Берлов О.В., Веселовський В.В. Розв'язок нелінійних задач теплопровідності для складених елементів конструкцій // Металургійна теплотехніка: Зб. наук. праць Національної металургійної академії України. — 2008. — С. 20—30.
12. Барвінський А.Ф., Гавриш В.І. Нелінійна задача теплопровідності для неоднорідного шару з внутрішніми джерелами тепла // Проблеми машиностроения. — 2009. — **12**, № 1. — С. 47—53.
13. Гавриш В.І., Федасюк Д.В. Метод розрахунку температурних полів для термочутливої кусково-однорідної смуги із чужорідним включенням // Промышленная теплотехника. — 2010. — **32**, № 5. — С. 18—25.
14. Гавриш В.І. Моделирование температурных режимов в термочувствительных микроэлектронных устройствах со сквозными инородными включениями // Электрон. моделирование. — 2012. — **34**, № 4. — С. 99—107.
15. Gavyrysh V.I. Thermal State Modelling in Thermosensitive Elements of Microelectronic Devices with Reach-through Foreign Inclusions // Semiconductor Physics, Quantum Electronics & Optoelectronics. — 2012. — **15**, No 3. — P. 247—251.
16. Gavyrysh V.I. Modelling the Temperature Conditions in the Three-dimensional Piecewise Homogeneous Elements of Microelectronic Devices // Ibid. — 2011. — **14**, No 4. — P. 478—482.
17. Гавриш В. Дослідження температурних режимів у термочутливій пластині з чужорідним наскрізним включенням // Фізико-математичне моделювання та інформаційні технології. — 2013. — Вип. 18. — С. 43—50.
18. Коляно Ю.М. Методы теплопроводности и термоупругости неоднородного тела. — Киев: Наук. думка, 1992. — 280 с.
19. Подстригач Я.С., Ломакин В.А., Коляно Ю.М. Термоупругость тел неоднородной структуры. — М.: Наука, 1984. — 368 с.
20. Корн Г., Корн Т. Справочник по математике для научных работников и инженеров. — М.: Наука, 1977. — 720 с.
21. Ломакин В.А. Теория упругости неоднородных тел. — М.: Изд-во Моск. ун-та, 1976. — 376 с.
22. Берман Р. Теплопроводность твердых тел. — М.: Мир, 1979. — 288 с.

Поступила 13.02.14;
после доработки 17.03.14

ГАВРЫШ Василий Иванович, д-р техн. наук, доцент, доцент Национального университета «Львовская политехника». В 1982 г. окончил Львовский госуниверситет им. И. Франко. Область научных исследований — моделирование процессов теплопроводности в телах кусочно-однородной структуры и разработка методов решения линейных и нелинейных граничных задач теплопроводности.